



1

Σημειώστε:

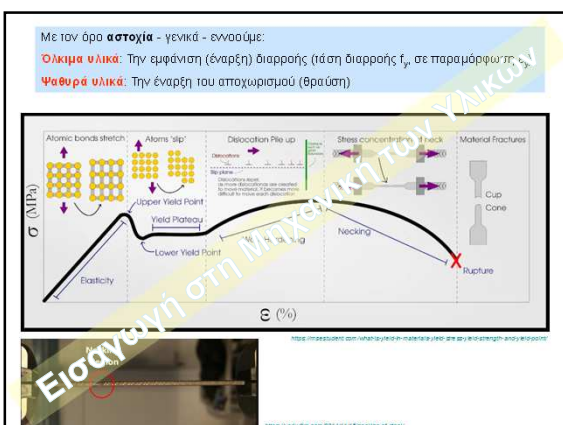
Θραύση

- Εξαρτάται (κυρίως) από τις ορθές για τις οποίες δρουν ώστε να διαχωρίσουν ένα ατομικό επίπεδο από ένα άλλο.
- Οι διαρρηγμένοι ατομικοί λαβοί δεν μπορούν να αναδιαταχθούν σε μία νέα θέση.

Διαρροή

- Εξαρτάται (κυρίως) από τις διατυπικές τάσεις, οι οποίες δρουν ώστε να πάρουν ένα ατομικό επίπεδο να ολοθήσει επί ενός άλλου.
- Οι διαρρηγμένοι ατομικοί δεσμοί αναδιατάσσονται σε μία νέα θέση.

2



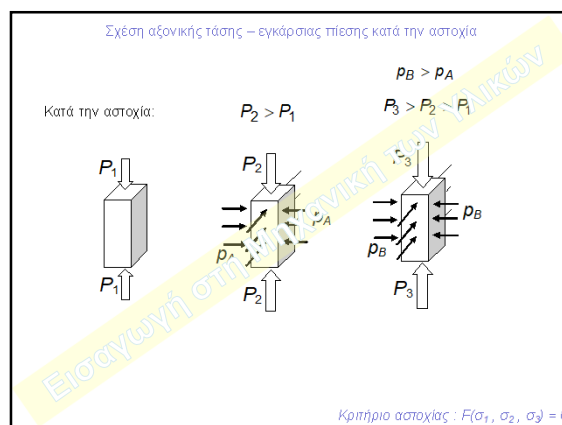
3



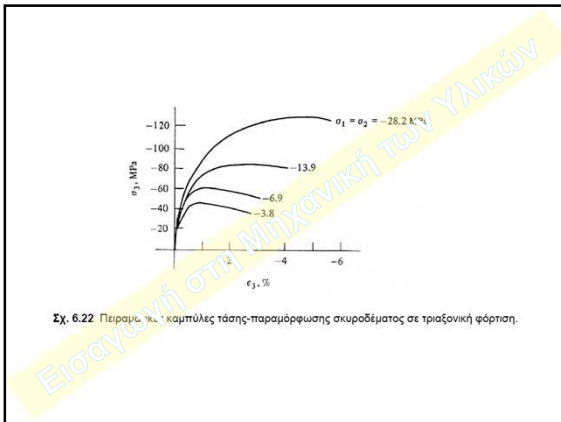
4



5



6



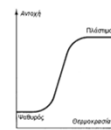
Σχ. 6.22 Περιμετρικό καμπύλες τάσης-παραμόρφωσης σκυροδέματος σε τριαξονική φόρτιση.

7

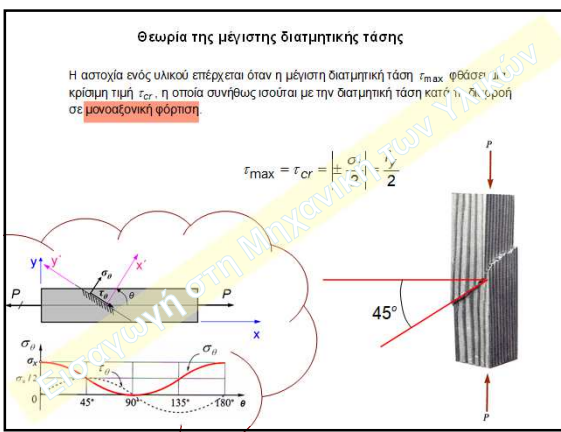
Τα κριτήρια (θεωρίες) αστοχίας συσχετίζουν την κατάσταση συνοχής μάς κατασκευής που υποβάλλεται σε συνθήσιτη καταστόντηση, με την κατάσταση αντοχής ενός δοκιμιού από την ίδια υλικά, που υποβάλλεται σε μονοαξονική εφελκυσμό ή θλίψη. Επομένως, αναλογικά με το χρησιμοποιούμενο κριτήριο αστοχίας, η πραγματική εντατική κατάσταση $\text{L}^{\text{α}}$, είναι σε μία ισοδύναμη ή συγκριτική μονοαξονική εντατική κατάσταση, εξίσου «επικ. νόσυνη» με την πραγματική διασονική ή τριαξονική.

Ανάλογα με την περιπτώση (είδος φορέα, είδος και την άνησης, υλικό, συνήθης, κ.α.), διαφορετικά κριτήρια (L^{α} μεταξύ αστοχίας προβλέπουν την αστοχία με διαφορετική τ κ.α. μεταξύ το καθένα.

Ακόμα και το ίδιο υλικό μπορεί να πάρει γράψεται από διαφορετικές θεωρίες αστοχίας, το παρόδειγμα, ορισμένο χάρισμες σε χαμηλές δυνάμεις συμπεριφέρονται ως φυσικό υλικά, ενώ σε συνταγή ή μη ψηφιλές θερμοκρασίες είναι όλικου.

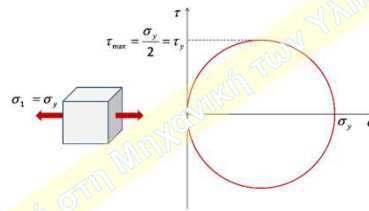


8



9

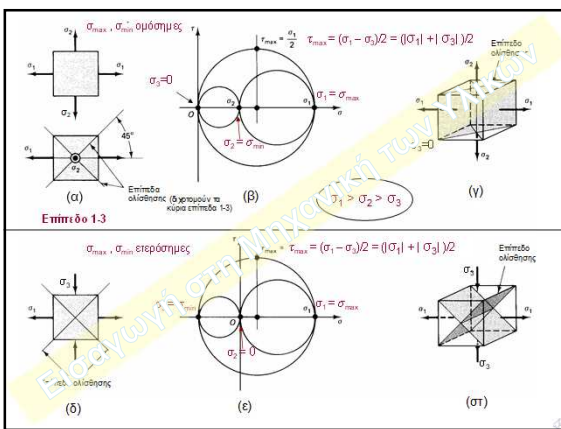
Ο κύκλος Mohr για την μονοαξονικό εφελκυσμό:



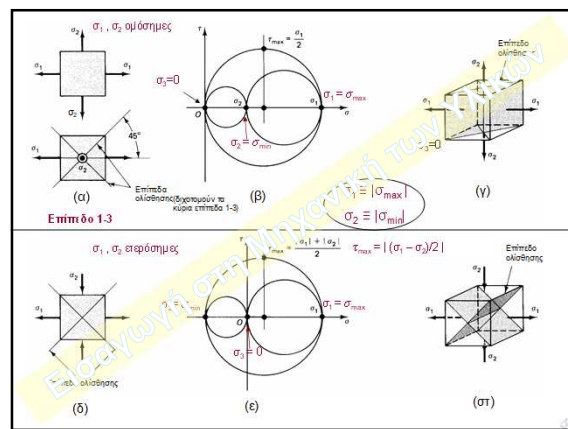
Δηλαδή, η γενική ορφή του κριτηρίου της μέγιστης διατμητικής τάσης είναι:

$$\sigma_{\max} - \sigma_{\min} = \sigma_y$$

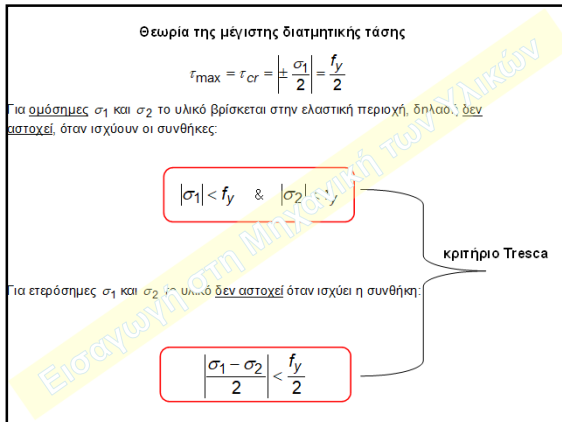
10



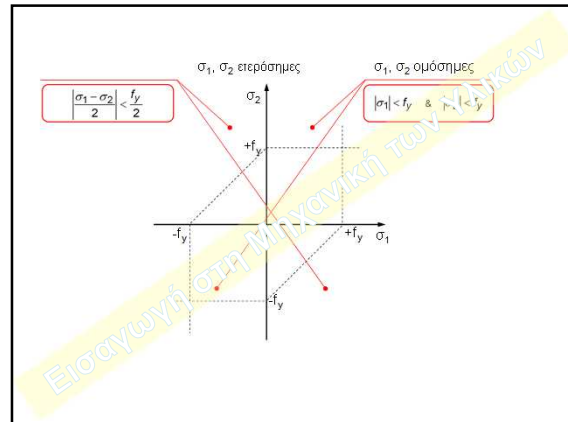
11



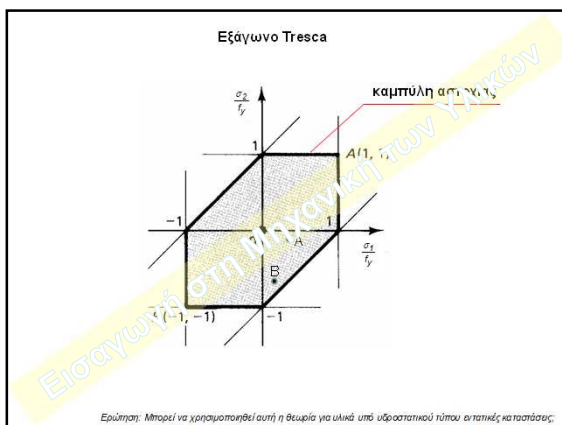
12



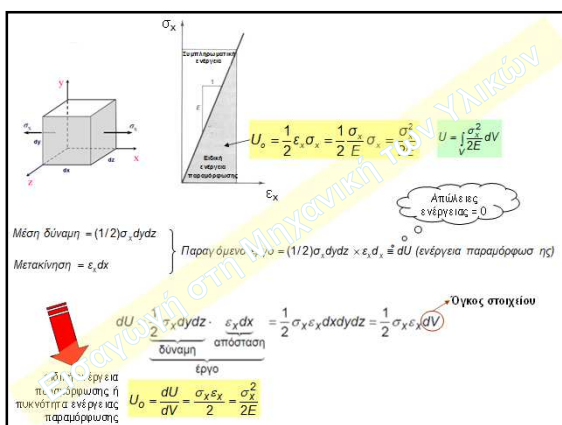
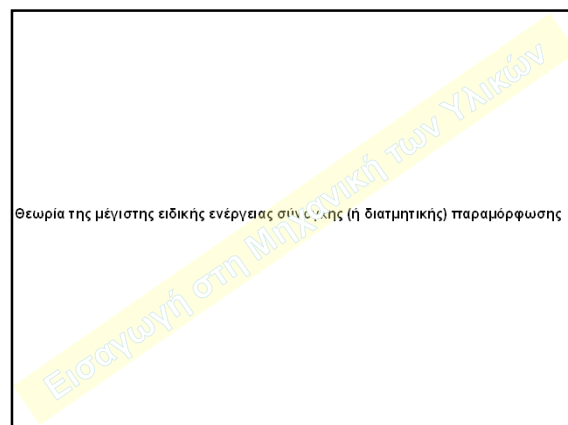
13



14



15



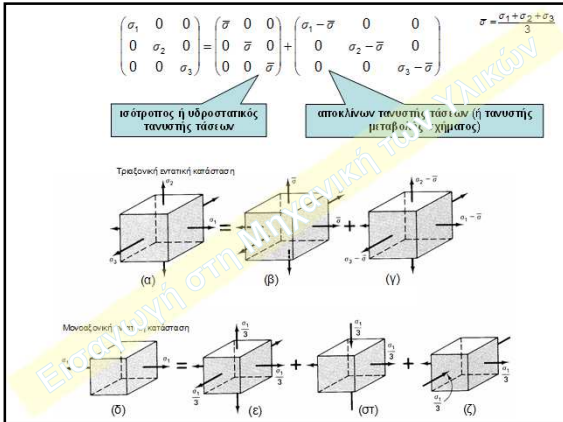
17

$$\left\{ \begin{array}{l} U_0 = \frac{\sigma_1 \varepsilon_1}{2} + \frac{\sigma_2 \varepsilon_2}{2} + \frac{\sigma_3 \varepsilon_3}{2} \quad (\text{τριαζονική εντατική κοτάση}) \\ \varepsilon_1 = \frac{\sigma_1}{E} - \nu \frac{\sigma_2}{E} - \nu \frac{\sigma_3}{E} \\ \varepsilon_2 = -\nu \frac{\sigma_1}{E} + \frac{\sigma_2}{E} - \nu \frac{\sigma_3}{E} \\ \varepsilon_3 = -\nu \frac{\sigma_1}{E} - \nu \frac{\sigma_2}{E} + \frac{\sigma_3}{E} \end{array} \right.$$

$$U_0 = \frac{1}{2E} (\sigma_1^2 + \sigma_2^2 + \sigma_3^2) - \frac{\nu}{E} (\sigma_1 \sigma_2 + \sigma_2 \sigma_3 + \sigma_3 \sigma_1)$$

Μέση ορθή ή υδροστατική τάση: $\bar{\sigma} = \frac{\sigma_1 + \sigma_2 + \sigma_3}{3}$

18



19

Ειδική ενέργεια παραμόρφωσης $U_0 =$ Ειδική ενέργεια σύμμορφης παραμόρφωσης $U_{0,V}$ (σε αυτήν που οφείλεται στις υδροστατικές τάσεις) + Φυσική ενέργεια σύνογκης παραμόρφωσης $U_{0,S}$ - ή ειδική ενέργεια διατήνησης παραμόρφωσης - (σε αυτήν που οφείλεται στις αποκλίνουσες τάσεις).

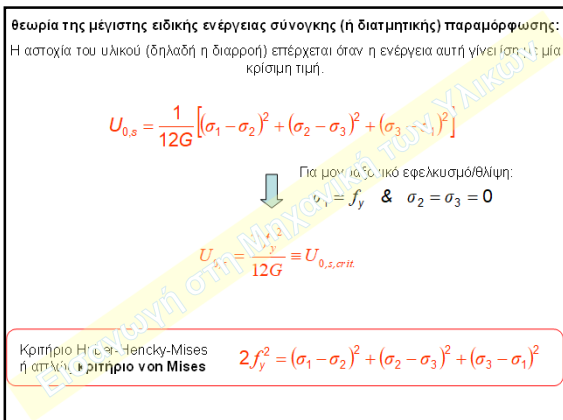
$$U_0 = \frac{1}{2E} (\sigma_1^2 + \sigma_2^2 + \sigma_3^2) - \frac{\nu}{E} (\sigma_1 \sigma_2 + \sigma_2 \sigma_3 + \sigma_3 \sigma_1)$$

$$\text{παραμόρφωση } \sigma_i = \bar{\sigma} = p = \frac{\sigma_1 + \sigma_2 + \sigma_3}{3}$$

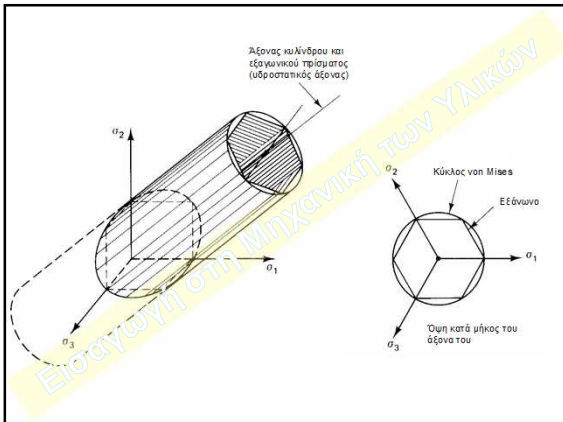
$$U_{0,V} = \frac{3(1-2\nu)}{2E} p^2 = \frac{1-2\nu}{6E} (\sigma_1 + \sigma_2 + \sigma_3)^2$$

$$U_{0,S} = U_0 - U_{0,V} \stackrel{G=E/2(1+\nu)}{=} \frac{1}{12G} [(\sigma_1 - \sigma_2)^2 + (\sigma_2 - \sigma_3)^2 + (\sigma_3 - \sigma_1)^2]$$

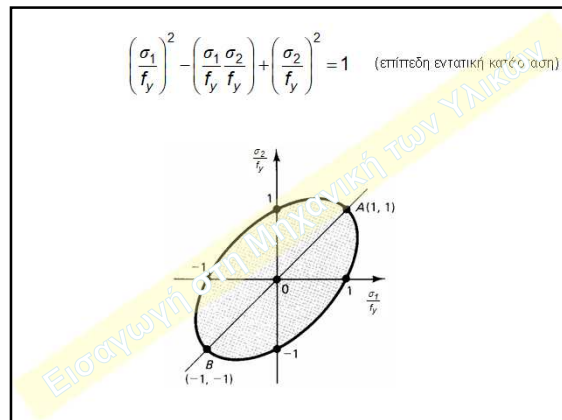
20



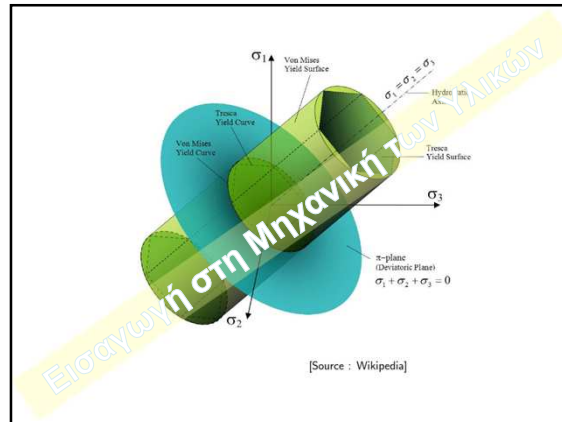
21



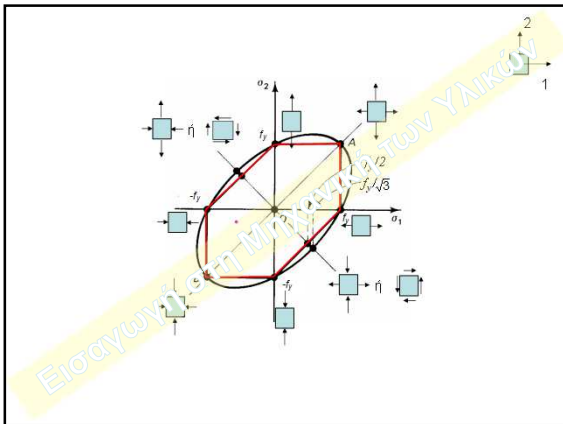
23



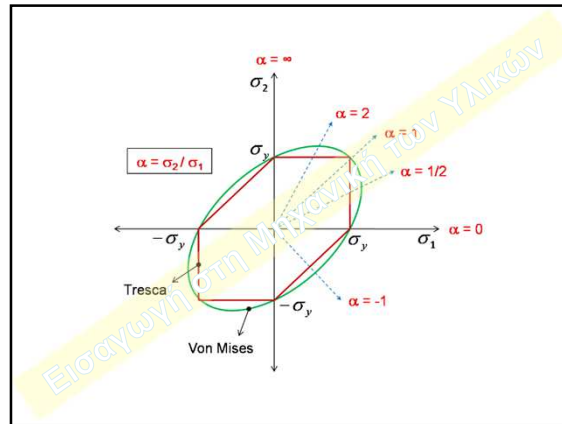
22



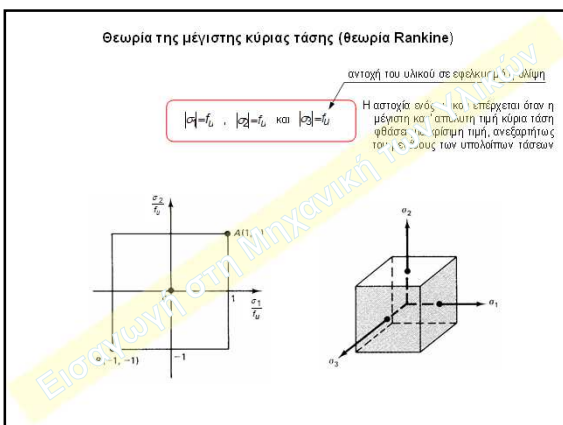
24



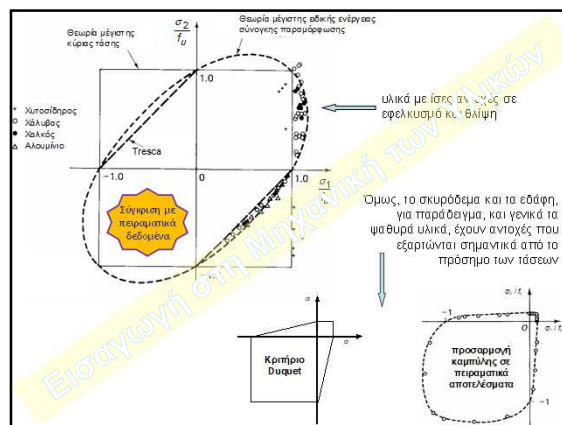
25



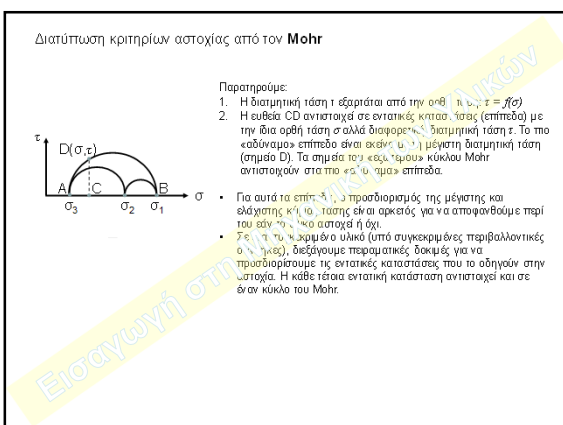
26



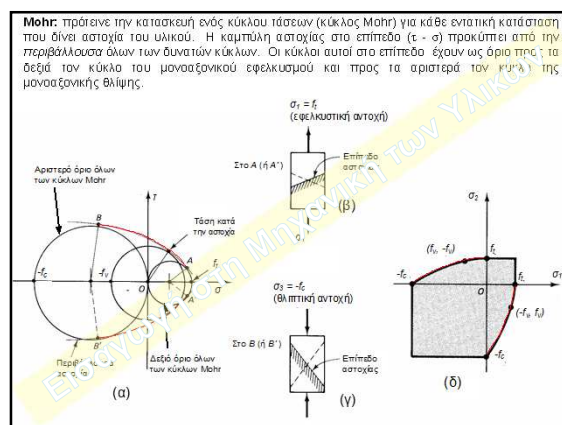
27



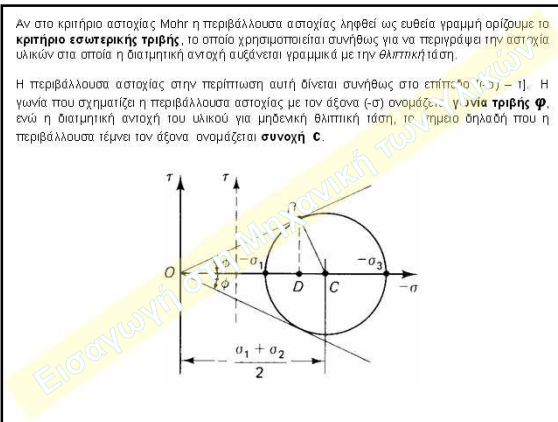
28



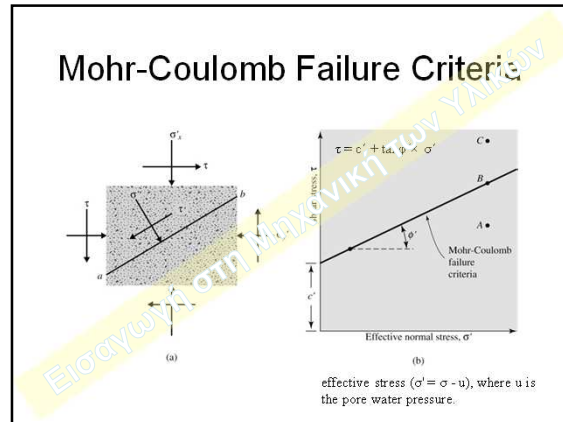
29



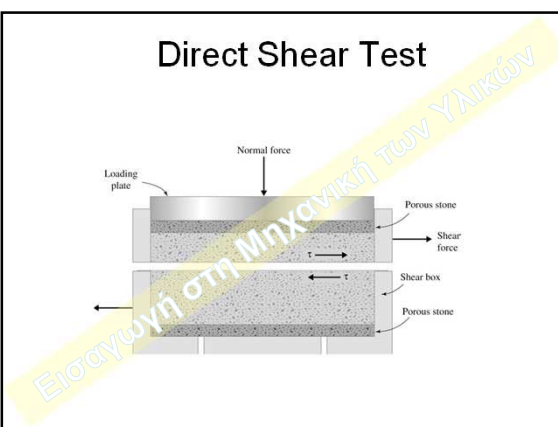
30



31



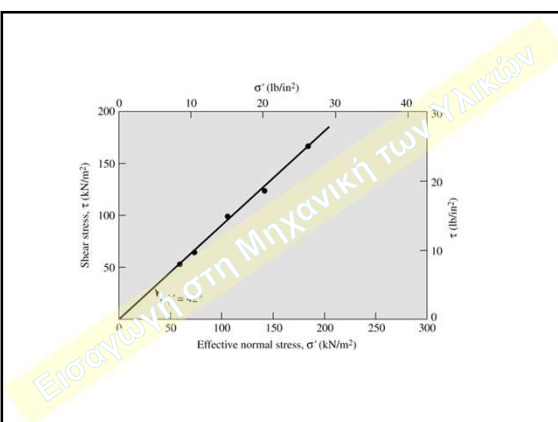
32



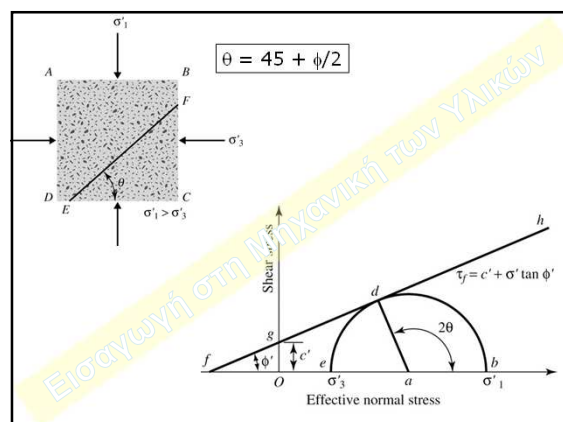
33



34



35



36